

Академик НАН Украины В. П. Шевченко, Е. В. Алтухов,
Р. Н. Нескородев

Однородные решения задачи о равновесии анизотропных пластин с одной плоскостью упругой симметрии

We have constructed homogeneous solutions of the equations of elastic equilibrium for a plate, on the flat edges of which the normal component of a vector of displacements and tangential stresses are equal to zero. An explicit analytic solution of the problem on the stressed state of a layer with elliptic hole in case of the action of a load that is constant over thickness is obtained.

Для исследования напряженно-деформированного состояния упругих тел эффективным является метод однородных решений [1–4]. В работе [1] получены однородные решения трехмерных задач статики трансверсально-изотропных пластин с учетом многообразия однородных краевых условий на плоских гранях. Здесь излагается методика построения и применения однородных решений для анизотропных пластин с одной плоскостью упругой симметрии.

1. Постановка задачи и построение однородных решений. Рассмотрим анизотропную пластину толщиной $2h$, отнесенную к декартовой системе координат $Ox_1x_2x_3$. На плоских гранях пластины имеют место граничные условия

$$u_3(x_1, x_2, \pm h) = 0, \quad \sigma_{j3}(x_1, x_2, \pm h) = 0 \quad (j = 1, 2). \quad (1)$$

Уравнения равновесия и обобщенного закона Гука в данном случае имеют вид

$$\begin{aligned} (L_{11} + A_{55}\partial_3^2)u_1 + (L_{12} + A_{45}\partial_3^2)u_2 + L_{13}\partial_3u_3 &= 0, \\ (L_{12} + A_{45}\partial_3^2)u_1 + (L_{22} + A_{44}\partial_3^2)u_2 + L_{23}\partial_3u_3 &= 0, \end{aligned} \quad (2)$$

$$\begin{aligned} L_{13}\partial_3u_1 + L_{23}\partial_3u_2 + (L_{33} + A_{33}\partial_3^2)u_3 &= 0; \\ \sigma_i &= (A_{i1}\partial_1 + A_{i6}\partial_2)u_1 + (A_{i6}\partial_1 + A_{i2}\partial_2)u_2 + A_{i3}\partial_3u_3 \quad (i = 1, 2, 3, 6), \\ \sigma_i &= A_{i5}\partial_3u_1 + A_{i4}\partial_3u_2 + (A_{i5}\partial_1 + A_{i4}\partial_2)u_3 \quad (i = 4, 5). \end{aligned} \quad (3)$$

Здесь

$$\begin{aligned} L_{11} &= A_{11}\partial_1^2 + 2A_{16}\partial_1\partial_2 + A_{66}\partial_2^2, & L_{12} &= A_{16}\partial_1^2 + (A_{12} + A_{66})\partial_1\partial_2 + A_{26}\partial_2^2, \\ L_{13} &= (A_{13} + A_{55})\partial_1 + (A_{36} + A_{45})\partial_2, & L_{23} &= (A_{36} + A_{45})\partial_1 + (A_{23} + A_{44})\partial_2, \\ L_{22} &= A_{66}\partial_1^2 + 2A_{26}\partial_1\partial_2 + A_{22}\partial_2^2, & L_{33} &= A_{55}\partial_1^2 + 2A_{45}\partial_1\partial_2 + A_{44}\partial_2^2, & \partial_i &= \frac{\partial}{\partial x_i}, \\ \sigma_1 &= \sigma_{11}, & \sigma_2 &= \sigma_{22}, & \sigma_3 &= \sigma_{33}, & \sigma_4 &= \sigma_{23}, & \sigma_5 &= \sigma_{13}, & \sigma_6 &= \sigma_{12}, \\ A_{ij} &— \text{модули упругости.} \end{aligned}$$

Следуя А. И. Лурье [5], решения системы (2), удовлетворяющие граничным условиям (1), будем называть однородными. Для построения однородных решений в случае симметричного деформирования относительно срединной плоскости ($x_3 = 0$) пластины (задача А) представим компоненты вектора перемещений в виде

$$\begin{aligned} u_i &= \sum_{k=0}^{\infty} u_{ik}(x_1, x_2) \cos(\delta_k x_3) \quad (i = 1, 2), \\ u_3 &= \sum_{k=0}^{\infty} u_{3k}(x_1, x_2) \sin(\delta_k x_3), \quad \delta_k = k\pi h^{-1}. \end{aligned} \quad (4)$$

Для кососимметричного деформирования пластины (задача Б) имеем

$$\begin{aligned} u_i &= \sum_{k=1}^{\infty} u_{ik}(x_1, x_2) \sin(\gamma_k x_3) \quad (i = 1, 2), \\ u_3 &= \sum_{k=1}^{\infty} u_{3k}(x_1, x_2) \cos(\gamma_k x_3), \quad \gamma_k = \frac{(2k-1)\pi}{2h}. \end{aligned} \quad (5)$$

При этом граничные условия (1) будут удовлетворены, а из системы уравнений (2) с учетом (4), (5) получим уравнения для определения неизвестных функций u_{jk} ($j = \overline{1, 3}$). Например, в задаче А:

при $k = 0$ имеют место уравнения

$$L_{11}u_{10} + L_{12}u_{20} = 0, \quad L_{12}u_{10} + L_{22}u_{20} = 0; \quad (6)$$

если $k \geq 1$, то из соотношений (2) и (4) получим

$$\sum_{n=1}^3 D_{in}^{(k)} u_{nk} = 0 \quad (i = \overline{1, 3}), \quad (7)$$

где

$$\begin{aligned} D_{11}^{(k)} &= A_{55} - \lambda_k^2 L_{11}, & D_{12}^{(k)} &= A_{45} - \lambda_k^2 L_{12}, & D_{13}^{(k)} &= -\lambda_k L_{13}, \\ D_{21}^{(k)} &= A_{45} - \lambda_k^2 L_{12}, & D_{22}^{(k)} &= A_{44} - \lambda_k^2 L_{22}, & D_{23}^{(k)} &= -\lambda_k L_{23}, \\ D_{31}^{(k)} &= \lambda_k L_{13}, & D_{32}^{(k)} &= \lambda_k L_{23}, & D_{33}^{(k)} &= A_{33} - \lambda_k^2 L_{33}, & \lambda_k &= \frac{1}{\delta_k}. \end{aligned}$$

Общее решение уравнений (6) представим в виде суммы

$$u_{i0} = 2 \operatorname{Re} \sum_{j=1}^2 d_{ij} \varphi_j(z_j). \quad (8)$$

Здесь $\varphi_j(z_j)$ — произвольные аналитические функции обобщенной комплексной переменной $z_j = x_1 + \mu_j x_2$; μ_j — корни характеристического уравнения

$$A_{11}A_{66} - A_{16}^2 + 2(A_{11}A_{26} - A_{12}A_{16})\mu + [A_{11}A_{22} + A_{66}^2 - (A_{12} + A_{66})^2 + 2A_{16}A_{26}]\mu^2 + 2(A_{22}A_{16} - A_{12}A_{26})\mu^3 + (A_{22}A_{66} - A_{26}^2)\mu^4 = 0;$$

$$d_{1j} = [A_{16} + (A_{12} + A_{66})\mu_j + A_{26}\mu_j^2]\Delta_j, \quad d_{2j} = -[A_{11} + 2A_{16}\mu_j + A_{66}\mu_j^2]\Delta_j,$$

Δ_j — произвольные постоянные.

Тогда выражения (3) для напряжений примут вид

$$\begin{aligned} \sigma_{10} &= 2 \operatorname{Re} \sum_{j=1}^2 \mu_j^2 \varphi_j'(z_j), & \sigma_{20} &= 2 \operatorname{Re} \sum_{j=1}^2 \varphi_j'(z_j), \\ \sigma_{60} &= -2 \operatorname{Re} \sum_{j=1}^2 \mu_j \varphi_j'(z_j), & \sigma_{30} &= 2 \operatorname{Re} \sum_{j=1}^2 \omega_j \Delta_j \varphi_j'(z_j), & \sigma_{40} &= \sigma_{50} = 0, \end{aligned}$$

где

$$\begin{aligned} \Delta_j &= \frac{\mu_j}{A_{11}A_{66} - A_{16}^2 + (A_{11}A_{26} - A_{12}A_{16})\mu_j + (A_{16}A_{26} - A_{66}A_{12})\mu_j^2}, \\ \omega_j &= A_{31}A_{16} - A_{11}A_{36} + [A_{31}(A_{12} + A_{66}) - A_{16}A_{36} - A_{11}A_{32}]\mu_j + \\ &+ (A_{31}A_{26} + A_{36}A_{12} - 2A_{32}A_{16})\mu_j^2 + (A_{36}A_{26} - A_{32}A_{66})\mu_j^3, \quad \varphi_j'(z_j) = \frac{d\varphi_j}{dz_j}. \end{aligned}$$

Соотношения (8) и (10) могут быть использованы при решении задач о напряженном состоянии пластины с полостями, на которых внешние усилия не изменяются вдоль образующей. С этой целью рассмотрим напряженно-деформированное состояние бесконечной пластины, ослабленной n полостями, боковые поверхности L_r ($r = \overline{1, n}$) которых представляют собой цилиндры с образующими, нормальными плоским граням. Указанная пластина деформируется постоянными по переменной x_3 внешними усилиями, приложенными по боковым поверхностям полостей. Кроме того, внешние усилия $\sigma_1^\infty = p$, $\sigma_2^\infty = q$, $\sigma_6^\infty = t$ могут быть заданы на бесконечности. Граничные условия для определения комплексных потенциалов $\varphi_j(z_j)$ на поверхности r -й полости в этом случае принимают вид

$$\begin{aligned} \sigma_{10}n_{1r} + \sigma_{60}n_{2r} &= n_{1r}(P_r - p) - n_{2r}(T_r + t), \\ \sigma_{60}n_{1r} + \sigma_{20}n_{2r} &= n_{1r}(T_r - t) + n_{2r}(P_r - q), \end{aligned}$$

где $P_r(s)$ — нормальная, а $T_r(s)$ — касательная составляющие внешних усилий, приложенных к боковой поверхности; $n_{1r} = \cos(n_r, x_1) = dx_2/ds$, $n_{2r} = \cos(n_r, x_2) = -dx_1/ds$, $ds = \sqrt{dx_1^2 + dx_2^2}$; n_r — нормаль к контуру L_r .

Из граничных условий (11) и выражений (10) следует

$$2 \operatorname{Re}[\mu_1 \varphi_1(z_1) + \mu_2 \varphi_2(z_2)] = \int_0^s [P_r(s) dx_2 + T_r(s) dx_1] - px_2 + tx_1 + c_1, \quad (12)$$

$$2 \operatorname{Re}[\varphi_1(z_1) + \varphi_2(z_2)] = \int_0^s [P_r(s) dx_1 - T_r(s) dx_2] + tx_2 - qx_1 + c_2.$$

Таким образом, решение задачи приведено к нахождению комплексных потенциалов $\varphi_j(z_j)$ из граничных условий (12).

Для решения системы уравнений (7) воспользуемся методом малого параметра. В качестве такового выбрана величина $\lambda_k = h/(k\pi)$. Представим функции u_{nk} рядами по параметру λ_k в виде суммы трех различных групп предполагаемых решений

$$u_{1k} = \frac{1}{\lambda_k} \varphi_{1k} + \sum_{p=1,3,\dots}^{\infty} \lambda_k^p u_{1kp}, \quad u_{2k} = \frac{\alpha}{\lambda_k} \varphi_{1k} + \sum_{p=1,3,\dots}^{\infty} \lambda_k^p u_{2kp}, \quad u_{3k} = \sum_{p=0,2,\dots}^{\infty} \lambda_k^p u_{3kp}, \quad (13)$$

$$u_{1k} = \frac{\beta}{\lambda_k} \varphi_{2k} + \sum_{p=1,3,\dots}^{\infty} \lambda_k^p v_{1kp}, \quad u_{2k} = \frac{1}{\lambda_k} \varphi_{2k} + \sum_{p=1,3,\dots}^{\infty} \lambda_k^p v_{2kp}, \quad u_{3k} = \sum_{p=0,2,\dots}^{\infty} \lambda_k^p v_{3kp}, \quad (14)$$

$$u_{1k} = \sum_{p=0,2,\dots}^{\infty} \lambda_k^p w_{1kp}, \quad u_{2k} = \sum_{p=0,2,\dots}^{\infty} \lambda_k^p w_{2kp}, \quad u_{3k} = \frac{1}{\lambda_k} \varphi_{3k} + \sum_{p=1,3,\dots}^{\infty} \lambda_k^p w_{3kp}. \quad (15)$$

Последовательно подставляя выражения (13), (14), (15) в уравнения (7) для каждой группы решений, получим

$$(1 - \lambda_k^2 \alpha_1 P_1) \varphi_{1k} = 0; \quad (16)$$

$$u_{3k0} = -\frac{1}{A_{33}} (L_{13} + \alpha L_{23}) \varphi_{1k},$$

$$u_{1k1} = \left[\frac{A_{44}}{\Delta} (K_{11} + \alpha K_{12}) - \frac{A_{45}}{\Delta} (K_{21} + \alpha K_{22}) - \alpha_1 P_1 \right] \varphi_{1k},$$

$$u_{2k1} = \left[\frac{A_{55}}{\Delta} (K_{21} + \alpha K_{22}) - \frac{A_{45}}{\Delta} (K_{11} + \alpha K_{12}) - \alpha \alpha_1 P_1 \right] \varphi_{1k};$$

$$u_{3k,p-1} = \frac{L_{33} u_{3k,p-3} - L_{13} u_{1k,p-2} - L_{23} u_{2k,p-2}}{A_{33}}, \quad (17)$$

$$u_{1kp} = \frac{(A_{44} L_{11} - A_{54} L_{12}) u_{1k,p-2} + (A_{44} L_{12} - A_{45} L_{22}) u_{2k,p-2} + (A_{44} L_{13} - A_{54} L_{23}) u_{3k,p-1}}{\Delta},$$

$$u_{2kp} = \frac{(A_{55} L_{12} - A_{45} L_{11}) u_{1k,p-2} + (A_{55} L_{22} - A_{45} L_{12}) u_{2k,p-2} + (A_{55} L_{23} - A_{45} L_{13}) u_{3k,p-1}}{\Delta}$$

$$(p = 3, 5, \dots);$$

$$(1 - \lambda_k^2 \alpha_2 P_2) \varphi_{2k} = 0; \quad (18)$$

$$\begin{aligned}
v_{3k0} &= -\frac{1}{A_{33}}(\beta L_{13} + L_{23})\varphi_{2k}, \\
v_{1k1} &= \left[\frac{A_{44}}{\Delta}(\beta K_{11} + K_{12}) - \frac{A_{45}}{\Delta}(\beta K_{21} + K_{22}) - \beta\alpha_2 P_2 \right] \varphi_{2k}, \\
v_{2k1} &= \left[\frac{A_{55}}{\Delta}(\beta K_{21} + K_{22}) - \frac{A_{45}}{\Delta}(\beta K_{11} + K_{12}) - \alpha_2 P_2 \right] \varphi_{2k};
\end{aligned} \tag{19}$$

соотношения для v_{nkp} ($p \geq 3$) получаются из формул (17) заменой u_{nkp} на v_{nkp} ;

$$(1 - \lambda_k^2 \alpha_3 P_3)\varphi_{3k} = 0; \tag{20}$$

$$\begin{aligned}
w_{1k0} &= \frac{1}{\Delta}(A_{44}L_{13} + A_{45}L_{23})\varphi_{3k}, & w_{2k0} &= \frac{1}{\Delta}(A_{55}L_{23} + A_{45}L_{13})\varphi_{3k}, \\
w_{3k1} &= \frac{1}{A_{33}} \left[L_{33} - \frac{A_{44}}{\Delta}L_{13}L_{13} + \frac{2A_{45}}{\Delta}L_{13}L_{23} - \frac{A_{55}}{\Delta}L_{23}L_{23} - A_{33}\alpha_3 P_3 \right] \varphi_{3k}, \\
w_{1kp} &= \frac{(A_{44}L_{11} - A_{45}L_{12})w_{1k,p-2} + (A_{44}L_{12} - A_{45}L_{22})w_{2k,p-2} + (A_{44}L_{13} - A_{45}L_{23})w_{3k,p-1}}{\Delta}, \\
w_{2kp} &= \frac{(A_{55}L_{12} - A_{45}L_{11})w_{1k,p-2} + (A_{55}L_{22} - A_{45}L_{12})w_{2k,p-2} + (A_{55}L_{23} - A_{45}L_{13})w_{3k,p-1}}{\Delta}, \\
w_{3k,p+1} &= \frac{L_{33}w_{3k,p-1} - L_{13}w_{1k,p} - L_{23}w_{2k,p}}{A_{33}} \quad (p = 2, 4, \dots).
\end{aligned} \tag{21}$$

В соотношениях (16)–(21) принято

$$K_{11} = L_{11} - \frac{L_{13}L_{13}}{A_{33}}, \quad K_{12} = K_{21} = L_{12} - \frac{L_{13}L_{23}}{A_{33}}, \quad K_{22} = L_{22} - \frac{L_{23}L_{23}}{A_{33}},$$

$$\Delta = A_{44}A_{55} - A_{45}A_{45}, \quad P_i = (\partial_2 - \mu_i \partial_1)(\partial_2 - \bar{\mu}_i \partial_1);$$

μ_i и $\bar{\mu}_i$ ($i = 1, 2$) — корни характеристического уравнения (9) (они различаются тем, что $\mu_1 \bar{\mu}_1 > \mu_2 \bar{\mu}_2$), а μ_3 и $\bar{\mu}_3$ удовлетворяют уравнению $A_{55} + 2A_{45}\mu + A_{44}\mu^2 = 0$; параметры α и α_1 , β и α_2 , а также α_3 определяются из условия минимизации коэффициентов при операторах дифференцирования в правой части соотношений для функций u_{ik1} , v_{ik1} ($i = 1, 2$) и w_{3k1} соответственно.

Из соотношений (16)–(21) видно, что функции φ_{nk} находятся из решения уравнений (16), (18) и (20), а все остальные функции представлений (13)–(15) выражаются через φ_{nk} посредством формул (17), (19) и (21).

Таким образом, задача свелась к интегрированию обобщенных метагармонических уравнений (16), (18) и (20). Эти уравнения имеют одинаковую структуру, которая представляется в форме

$$[1 - \lambda^2 \alpha (\partial_2 - \mu \partial_1)(\partial_2 - \bar{\mu} \partial_1)]F = 0. \tag{22}$$

Общее решение уравнения (22) представляется в виде суперпозиции функций Бесселя многого аргумента

$$F(z, \bar{z}) = \sum_{n=0}^{\infty} \left(\frac{z^n}{n!} + \frac{\bar{z}^n}{n!} \right) [C_{1n} I_n(2q\sqrt{\rho}) + C_{2n} K_n(2q\sqrt{\rho})],$$

где $z = x_1 + \mu x_2$, $\rho = z\bar{z}$, $q^2 = 1/[\lambda^2 \alpha (\mu - \bar{\mu})^2]$.

В задаче Б из уравнений равновесия (2) и соотношений (5) получим систему для определения функций u_{nk} в форме (7), в которой параметр δ_k следует заменить на параметр $-\gamma_k$.

2. Численные исследования. Рассмотрена бесконечная пластина произвольной толщины $2h$, ослабленная эллиптической полостью, контур L которой задан уравнениями в параметрической форме

$$x_1 = a \cos(\theta), \quad x_2 = b \sin(\theta),$$

где a и b — полуоси эллипса; $0 \leq \theta \leq 2\pi$.

Пластина деформируется постоянными по переменной x_3 внешними усилиями, которые описаны в п. 1. Для определения напряженно-деформированного состояния пластины вблизи полости необходимо из граничных условий (12) определить функции $\varphi_j(z_j)$, через которые перемещения и напряжения находятся по формулам (8) и (10). Функции $\varphi_j(z_j)$ определены в областях S_j , которые получаются из основной области S аффинными преобразованиями [6]

$$x_{1j} = x_1 + \alpha_j x_2, \quad x_{2j} = \beta_j x_2, \quad \mu_j = \alpha_j + i\beta_j.$$

При этом эллиптическому контуру L в областях S_j соответствуют эллиптические контуры L_j , уравнения которых запишутся так:

$$t_j = x_1 + \mu_j x_2 = R_j \sigma + \frac{m_j}{\sigma},$$

$$R_j = \frac{a - i\mu_j b}{2}, \quad m_j = \frac{a + i\mu_j b}{2}, \quad \sigma = e^{i\theta} = \cos(\theta) + i \sin(\theta). \quad (23)$$

Функция, отображающая внешность единичного круга на внешность эллиптического контура в области S_j , на основании уравнения (23) примет вид

$$z_j = R_j \zeta_j + \frac{m_j}{\zeta_j}, \quad \zeta_j = r_j \sigma, \quad r_j \geq 1. \quad (24)$$

Представим функции $\varphi_j(z_j)$ в виде ряда:

$$\varphi_j(z_j) = \sum_{k=1}^{\infty} \frac{a_{kj}}{\zeta_j^k}, \quad (25)$$

где переменная ζ_j связана с z_j зависимостями (24).

Учитывая, что на контуре $r_j = 1$, а переменная $\zeta_j = \sigma$, методом рядов из условий (12) найдем систему алгебраических уравнений относительно коэффициентов разложения функции (25). Из этой системы найдем

$$a_{11} = \frac{1}{2(\mu_1 - \mu_2)} [P(ib - \mu_2 a) + T(a + i\mu_2 b) - pbi + q\mu_2 a + t(a - i\mu_2 b)],$$

$$a_{12} = -\frac{1}{2(\mu_1 - \mu_2)} [P(ib - \mu_1 a) + T(a + i\mu_1 b) - pbi + q\mu_1 a + t(a - i\mu_1 b)],$$

$$a_{kj} = 0 \quad \text{для} \quad k > 1.$$

Здесь принято, что проекции внешних усилий P и T от координат x_1 и x_2 не зависят.

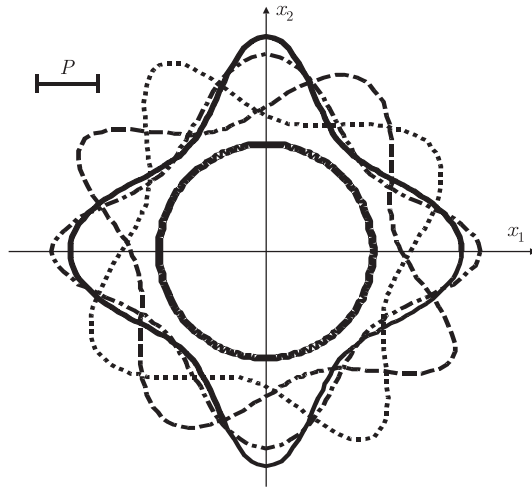


Рис. 1

Полученное решение для приведенных внешних усилий точно удовлетворяет уравнениям теории упругости и всем граничным условиям.

Для численных расчетов был выбран трансверсально-изотропный материал, упругие постоянные которого в случае совпадения плоскости изотропии с плоскостью Ox_1x_2 такие:

$$\frac{E_1}{E} = 1,074, \quad \frac{E_2}{E} = 0,523, \quad \frac{G_2}{E} = 0,120, \quad \nu_1 = 0,413, \quad \nu_2 = 0,198,$$

где $E = 10^4$ МПа, а корни характеристического уравнения (9) равны $\mu_1 = 3,0260i$ и $\mu_2 = 0,4986i$. При повороте плоскости изотропии вокруг оси Ox_2 на некоторый угол φ будем получать анизотропный материал с одной плоскостью упругой симметрии. Например, при $\varphi = 30^\circ$ $\mu_1 = -1,1621 + 0,9957i$, $\mu_2 = 0,4006 + 0,6139i$, при $\varphi = 60^\circ$ $\mu_1 = 0,7454 + 1,1424i$, $\mu_2 = -0,4962 + 0,4252i$. Для $\varphi = 90^\circ$ получаем трансверсально-изотропный материал, у которого плоскость изотропии совпадает с плоскостью Ox_2x_3 и $\mu_1 = 2,0055i$, $\mu_2 = 0,3305i$.

Расчеты были проведены для бесконечной плиты с круговой полостью ($a = b = 1$), на боковой поверхности которой задано нормальное давление интенсивности P . На рис. 1 представлены графики распределения тангенциальных напряжений σ_t/P для приведенных выше случаев анизотропии. Сплошная линия соответствует случаю $\varphi = 0^\circ$, пунктирная — случаю $\varphi = 30^\circ$, штрихпунктирная — $\varphi = 60^\circ$, а штриховая — $\varphi = 90^\circ$. Во всех рассмотренных случаях наибольшее по абсолютному значению напряжение σ_t/P равно значению 2,0158.

1. Алтухов Е. В. Статические трехмерные задачи для трансверсально-изотропных пластин // Механика композитов: В 12 т. Т. 7. Концентрация напряжений / Под ред. А. Н. Гузя, А. С. Космодамианского, В. П. Шевченко. — Киев: ПТОО «А. С. К.», 1998. — С. 114–137.
2. Космодамианский А. С. Пространственные задачи теории упругости для многосвязных пластин: Обзор // Прикл. механика. — 1983. — **19**, № 12. — С. 3–21.
3. Космодамианский А. С. Концентрация внутренней энергии в многосвязных телах // Там же. — 2002. — **38**, № 4. — С. 21–48.
4. Немши Ю. Н. Развитие аналитических методов в трехмерных задачах статики анизотропных тел (Обзор) // Там же. — 2000. — **36**, № 2. — С. 3–38.
5. Лурье А. И. Пространственные задачи теории упругости. — Москва: Гостехиздат, 1955. — 492 с.
6. Лехницкий С. Г. Теория упругости анизотропного тела. — Москва: Наука, 1977. — 415 с.

Донецкий национальный университет

Поступило в редакцию 16.07.2007